

УДК 621.373.826.038.823

**СО<sub>2</sub> ЛАЗЕР СВЕРХАТМОСФЕРНОГО ДАВЛЕНИЯ  
С САМОСТОЯТЕЛЬНЫМ РАЗРЯДОМ  
ПРИ ВЫСОКОМ УРОВНЕ ВОЗБУЖДЕНИЯ АКТИВНОЙ СРЕДЫ**

Ю. Г. Агалаков, Ю. А. Рубинов

В статье на основе представленных экспериментальных результатов исследования самостоятельного объемного разряда показана возможность и определены условия достижения удельных энерговкладов до 2 Дж/см<sup>3</sup> атм в активной среде CO<sub>2</sub> лазера в объеме 170 см<sup>3</sup>, типичном для газовых лазеров высокого давления. Поскольку такие условия возбуждения осуществлены впервые, в работе содержатся результаты исследования характеристик CO<sub>2</sub> лазера в указанном диапазоне энерговкладов в традиционной спектральной области генерации.

### Введение

В CO<sub>2</sub> лазерах сверхатмосферного давления столкновительное уширение линий колебательно-вращательных переходов молекулы CO<sub>2</sub> позволяет существенно расширить спектральный диапазон излучения лазера, обеспечивая широкодиапазонную непрерывную перестройку частоты излучения, получение пикосекундных импульсов излучения [1-3]. Увеличение удельных энергетических параметров накачки в такого типа лазерах и степени колебательного возбуждения активной среды представляет интерес с точки зрения повышения энергетических характеристик излучения, получения генерации на нетрадиционных переходах молекулы CO<sub>2</sub> в ближнем ИК диапазоне [4], а также при изучении плазмохимических и физических процессов с участием высоких колебательно-возбужденных состояний молекул [1].

При возбуждении газовых сред высокого давления в импульсном объемном самостоятельном разряде (ОСР) проблема увеличения удельной энергии накачки обусловлена развитием неустойчивости объемной фазы разряда, что требует формирования мощного разряда за время, меньшее характерного времени развития неустойчивости, и уменьшения роли факторов, приводящих к локализации [5]. Острота проблемы возрастает с увеличением разрядного объема и давления газовой среды. Максимальные достигнутые энерговклады в молекулярные газовые среды атмосферного давления составляют 8 Дж/см<sup>3</sup> в объеме 0.2 см<sup>3</sup> [6] и не превышают 1.3 Дж/см<sup>3</sup> [7] в объемах, исчисляемых десятками кубических сантиметров и характерных для CO<sub>2</sub> лазеров высокого давления.

В работе [8] показана возможность увеличения удельного энерговклада в газовой среде CO<sub>2</sub> : N<sub>2</sub> : He атмосферного давления до уровня 2 Дж/см<sup>3</sup> в объемах более 50 см<sup>3</sup>. В настоящей работе представлены результаты экспериментального исследования режимов ввода энергии в ОСР в диапазоне давлений газовой среды 1—10 атм при энерговкладах до 2 Дж/см<sup>3</sup> в объеме 170 см<sup>3</sup> и изменении начальных условий формирования разряда: приложенного поля, концентрации инициирующих электронов, состава рабочей смеси, параметров источника питания, а также приведены результаты исследования генерационных характеристик CO<sub>2</sub> лазера при высоком уровне возбуждения активной среды.

## Лазер высокого давления

Лазер состоял из помещенной в резонатор камеры высокого давления, содержащей два независимо возбуждаемых модуля, созданных по конструктивной схеме, аналогичной [9]. Электроразрядный объем в каждом модуле ( $25 \times 2 \times 1.7 = 85 \text{ см}^3$ ) ограничивался плоской частью скругленного по краям по радиусу 2 см латунного катода и сеткой-анодом из нержавеющей стали. Камера наполнялась смесями состава  $\text{CO}_2 : \text{N}_2 : \text{He} + \text{диметиланилин}$  (0.6 мм рт. ст.) при поддержании гелия от 50 до 90 % в диапазоне давлений 1–10 атм.

Для фотоионизации смеси использовалось излучение 120 открытых искровых источников, равномерно распределенных под сеткой-анодом с поверхностью плотностью  $0.6 \text{ см}^{-2}$ . Усредненная по объему разрядного промежутка величина начальной концентрации электронов  $n_0$  измерялась методом проводимости по осцилограммам фототока и варьировалась путем изменения величины энерговклада в систему фотоионизации (до 6 Дж) и времени задержки между включением системы фотоионизации и основного разряда.

Источником питания ОСР служил двухступенчатый генератор Маркса, совокупность реализованных параметров которого позволяла изменять длительность полуperiода разряда  $t_p = \pi\sqrt{LC}$ , где  $C$  — емкость накопителя,  $L$  — индуктивность разрядной цепи, от 100 до 350 нс. При этом длительность фронта нарастания напряжения на разрядном промежутке не превышала 10 нс, а скорость нарастания была выше  $10 \text{ кВ/см}\cdot\text{нс}$ .

Оптическая схема резонатора лазера включала два электроразрядных модуля, расположенных последовательно вдоль оптической оси в камере высокого давления, закрывающие камеру окна Брюстера и два плоских зеркала — «глухое» ( $k_{opt} = 0.98$  для  $\lambda = 10.6 \text{ мкм}$ ) и выходное, расположенных на расстоянии 150 см.

### Результаты экспериментального исследования ОСР

Характер полученных осцилограмм тока и напряжения на разрядном промежутке позволяет выделить две стадии развития ОСР: стадию формирования, длительностью  $\tau_\phi$ , и стадию основного ввода энергии, длительность которой определяется либо временем разряда накопителя на промежуток, либо временем  $\tau_x$  формирования локализации. Под временем  $\tau_\phi$  формирования ОСР понимается время от момента максимального значения напряженности электрического поля  $E_0$  на разрядном промежутке до момента ее максимальной скорости спада ( $d^2E/dt^2 = 0$ ) [10]. Время  $\tau_x$  формирования локализации ОСР определялось как время от момента максимального значения  $E_0$  на промежутке до момента появления искрового канала и надежно фиксировалось по осцилограммам тока и напряжения на разрядном промежутке.

Анализ условий формирования и поддержания ОСР показывает, что величина  $\tau_x$  зависит от всей совокупности величин — концентрации инициирующих электронов  $n_0$ , максимального значения напряженности поля  $E_0$  на разрядном промежутке, емкости накопителя  $C$ , индуктивности разрядной цепи  $L$ , состава и давления  $P$  рабочей смеси, степени пространственной однородности  $n_0$  и  $E_0$ . Однако в типичных условиях возбуждения  $\text{CO}_2$  лазеров высокого давления эти зависимости для ряда параметров оказываются слабыми, и представляется возможным выделить реально действующие зависимости. Так,  $\tau_x$  практически не зависит от состава смеси, величины  $C$  и величины  $E_0/P$  в исследованном диапазоне  $15 \leq E_0/P \leq 70 \text{ кВ/см атм}$ . Зависимость  $\tau_x$  от параметра  $L$  обусловлена влиянием  $L$  на длительность фронта нарастания  $E$  на разрядном промежутке и связана с обеднением прикатодной области при дрейфе фотоэлектронов на фронте нарастания  $E$  [11]. При длительности фронта, реализованной в нашем случае, связь  $\tau_x$  и  $L$  оказывается слабой по сравнению с рассмотренными ниже зависимостями.

Таким образом, при фиксированных в нашем случае величинах степени пространственной однородности  $n_0$  и  $E_0$ , реально действующими оказываются параметры  $n_0$  и  $P$ , причем для сохранения  $\tau_x$  необходимо увеличивать  $n_0$  про-

порционально  $P$ , т. е. комбинация  $n_0/P$  выступает как единый параметр. Следует отметить, что наличие сильной зависимости величины  $n_0$  от концентрации молекул  $\text{CO}_2$  в промежутке, аналогичной [12], с одной стороны, и необходимость увеличения  $n_0$  с ростом  $P$  для сохранения величины  $\tau_x$ , с другой стороны, накладывают жесткие требования на источник фотоионизации. В нашем случае, в смеси  $1\text{CO}_2 : 0.5\text{N}_2 : 15\text{He}$  при  $P=1$  атм была достигнута величина  $n_0 = 5 \cdot 10^{11} \text{ см}^{-3}$ . При  $P=10$  атм максимальная величина  $n_0$  не превышала  $6 \cdot 10^9 \text{ см}^{-3}$ , что не позволило при этом давлении реализовать  $\tau_x > 220$  нс.

На рис. 1 приведена зависимость времени  $\tau_x$  от величины  $n_0$  для  $P=1$  атм при различных величинах  $E_0$  на разрядном промежутке. В области, лежащей ниже зависимости  $\tau_x(n_0)$ , искровой канал всегда отсутствовал (рис. 1). В случае  $P > 1$  атм зависимость  $\tau_x(n_0/P)$  может быть аппроксимирована выражением

$$\tau_x = 62 \lg(n_0/P) - 320, \quad (1)$$

где  $\tau_x$  в нс,  $n_0/P$  в  $\text{см}^{-3} \cdot \text{атм}^{-1}$ .

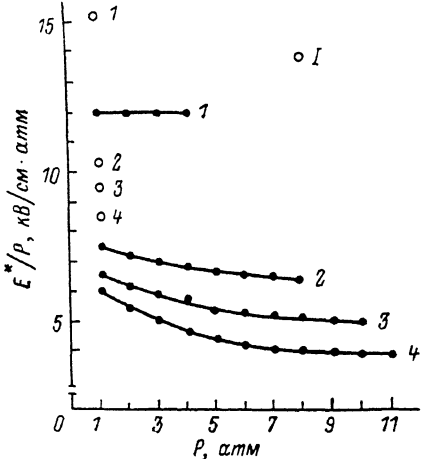
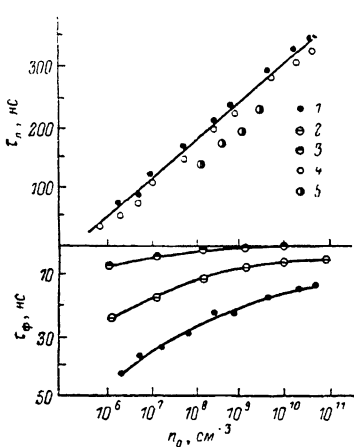


Рис. 1. Зависимости времени  $\tau_x$  формирования локализации разряда и времени  $\tau_\phi$  формирования разряда от величины начальной концентрации электронов  $n_0$  при различных начальных напряженностях  $E_0$ .

$E_0$ : 1 — 15, 2 — 20, 3 — 25, 4 — 30, 5 — 70 кВ/см. Смесь  $1\text{CO}_2 : 1\text{N}_2 : 5\text{He}$  при  $P=1$  атм.

Рис. 2. Зависимости параметра  $E^*/P$  от давления для различных смесей с добавками 0.6 мм рт. ст. диметиланилина.

1 —  $1\text{CO}_2 : 1\text{N}_2 : 2\text{He}$ , 2 —  $1\text{CO}_2 : 1\text{N}_2 : 8\text{He}$ , 3 —  $1\text{CO}_2 : 0.5\text{N}_2 : 10\text{He}$ , 4 —  $1\text{CO}_2 : 0.5\text{N}_2 : \text{He } 15$  при длительности разряда  $t_p = 220$  нс. I — значения параметра  $E^*/P$  из работ [10, 15] в смесях без добавок легкоионизуемых веществ.

Как следует из рис. 1 и формулы (1), ОСР не формируется при  $n_0 \leq 10^6 \text{ см}^{-3} \cdot \text{атм}^{-1}$ . На рис. 1 приведены также зависимости времени формирования ОСР от  $n_0$  при различных  $E_0$ . Совместное рассмотрение этих зависимостей позволяет сделать вывод о связи  $\tau_x$  и  $\tau_\phi$ , такой, что сокращение  $\tau_\phi$ , обусловленное увеличением  $n_0$ , приводит к увеличению  $\tau_x$ . Этот факт согласуется с результатами работы [13], в которой на основе численного моделирования ОСР показано, что сокращение времени формирования ОСР за счет повышения степени предъионизации приводит к увеличению устойчивости разряда относительно перехода в искровой канал.

Таким образом, для обеспечения безыскрового разряда накопителя на промежуток необходимо удовлетворить условию  $t_p = \pi \sqrt{LC} \leq \tau_x(n_0/P)$ . В практическом отношении данное выражение (см. также формулу (1)) позволяет выбирать начальные условия, обеспечивающие безыскровой разряд, по измененному значению  $\tau_x$  при фиксированном значении  $n_0/P$  в конкретной геометрии разрядного промежутка и системы фотоионизации.

В рассмотренных выше условиях увеличение удельного энерговклада в ОСР связано с повышением  $E_0/P$ . Учитывая, что эффективность использования нако-

пителя, а вместе с ней и величина энерговклада в ОСР зависят от отношения  $E_0/P$  и  $2E^*/P$ , где  $E^*$  — величина  $E$  в момент максимума тока (для  $P=1$  атм см., например, [10]), и то, что параметр  $E^*/P$  определяет эффективность возбуждения верхних лазерных уровней [14], мы провели измерения  $E^*/P$  от  $P$  для смесей различного состава (рис. 2). Из сравнения наших данных для  $P=1$  атм с данными работ [10, 15], в которых проведены измерения  $E^*/P$  в сходных экспериментальных условиях, но без легкоионизуемых добавок, следует, что введение в рабочие смеси 0.6 мм рт. ст. диметиланилина позволило снизить величины  $E^*/P$  в среднем на 25 %. Из рис. 2 также видно, что  $E^*/P$  значительно снижаются с ростом  $P$  и приближаются к оптимальным с точки зрения эффективности возбуждения верхних лазерных уровней.

Анализ полученных осцилограмм тока и напряжения разряда позволяет сделать вывод о том, что характер разряда для смесей различного состава

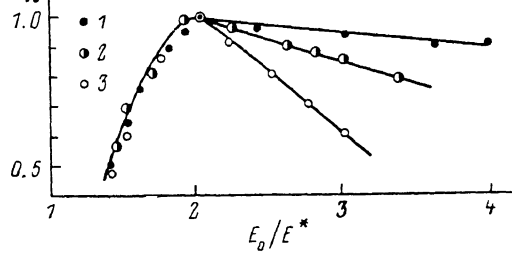


Рис. 3. Зависимости доли энергии  $z$ , введенной в первый полупериод разряда, от параметра  $E_0/E^*$  для различных смесей:  $1\text{CO}_2 : 1\text{N}_2 : 2\text{He}$  (1),  $1\text{CO}_2 : 1\text{N}_2 : 5\text{He}$  (2),  $1\text{CO}_2 : 0.5\text{N}_2 : 15\text{He}$  (3).

определяется соотношением между  $E_0/P$  и  $2E^*/P$  во всех исследованных диапазонах давлений ( $E_0/P < 2E^*/P$  — апериодический,  $E_0/P = 2E^*/P$  — согласованный,  $E_0/P > 2E^*/P$  — периодический). Однако зависимости отношения вложенной энергии в первый полупериод разряда к энергии накопителя от величины  $E_0/E^*$  для смесей разного состава оказываются различными (рис. 3). Так, для обедненных гелием смесей было возможным даже при значительных перенапряжениях обеспечить почти полный ввод энергии в первый полупериод разряда. Это обстоятельство позволяет без увеличения времени основного ввода энергии и при сохранении соотношения  $t_p \leq \tau_x$  повышать  $E_0/P$  и тем самым увеличивать скорость ввода энергии в разряд. Для обогащенных гелием смесей повышать скорость ввода энергии в разряд было возможно при увеличении давления, когда возрастают величины  $E^*/P$  на разрядном промежутке, а изменение параметра  $n_0/P$  не приводит к нарушению соотношения  $t_p \leq \tau_x$ .

Таким образом, путем выбора начальных условий, направленного на сокращение длительности фронта нарастания поля на промежутке, сокращение длительности фазы формирования ОСР и увеличение скорости ввода энергии в разряд, возможно значительное увеличение удельных энерговкладов в объемы, исчисляемые десятками кубических сантиметров. В нашем случае достигнут энерговклад 2 Дж/см<sup>3</sup>·атм при  $P=1$  атм в смеси  $1\text{CO}_2 : 1\text{N}_2 : 2\text{He}$  в объеме 170 см<sup>3</sup>, что более чем в 1.5 раза превышает энерговклады, реализованные на настоящем времени в сходных условиях [7].

### Генерационные характеристики лазера

Достигнутые энерговклады позволили исследовать генерационные характеристики лазера при высоком уровне возбуждения активной среды. Зависимости энергии генерации от энерговклада в единицу объема разрядного промежутка для смеси  $1\text{CO}_2 : 1\text{N}_2 : 2\text{He}$  и длительности импульса разряда 220 нс приведены на рис. 4. В этом случае резонатор лазера состоял из двух плоских зеркал с коэффициентами отражения 0.98 и 0.70, расположенных на расстоянии 75 см внутри камеры высокого давления. На рис. 4 существенно наличие оптимального по энергосъему энерговклада, зависящего от давления смеси.

Однако оптимальный удельный энерговклад  $G_{\text{опт}}$  ( $\text{Дж}/\text{см}^3 \cdot \text{атм}$ ) остается постоянным при увеличении давления. Величина  $G_{\text{опт}}$  не зависит от коэффициента отражения выходного зеркала при его изменении от 0.6 до 0.9.

Аналогичные рис. 4 данные, полученные для смесей с содержанием молекулярных газов от 10 до 50 %, показывают, что величина  $G_{\text{опт}}$  определяется компонентным составом смеси. На рис. 5 приведена зависимость величины  $G_{\text{опт}}$  от содержания молекулярных газов в смеси, откуда видно, что при неизменной длительности импульса возбуждения  $t_p = 220$  нс величина  $G_{\text{опт}}$  возрастает с увеличением содержания молекулярных компонентов в смеси.

Наличие оптимума по энерговкладу обусловлено увеличением заселенности нижних лазерных уровней из-за перегрева газа и девозбуждением верхних лазерных уровней электронами разряда. В литературе (например, [16]) имеются

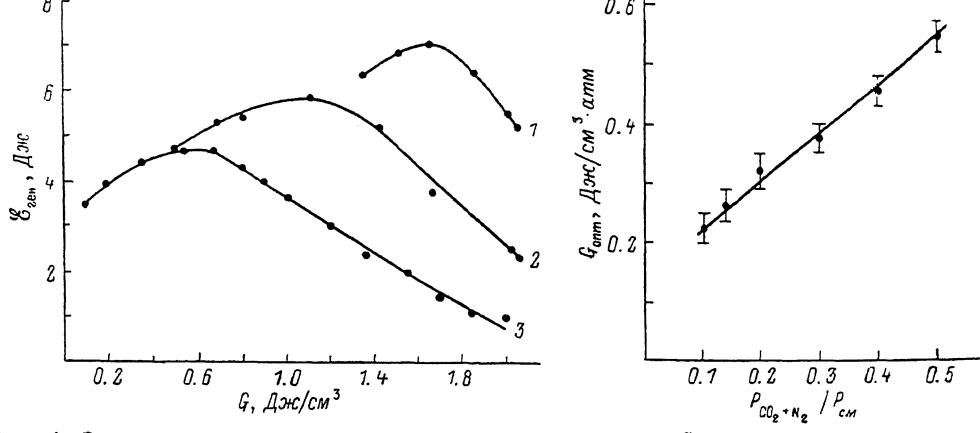


Рис. 4. Зависимости энергии генерации  $\varepsilon_{\text{ген}}$  от энерговклада  $G$  при различных давлениях смеси  $1\text{CO}_2 : 1\text{N}_2 : 2\text{He}$  и  $t_p = 220$  нс.

$P$ , атм: 1 — 3, 2 — 2, 3 — 1.2.

Рис. 5. Зависимость оптимального удельного энерговклада  $G_{\text{опт}}$  от содержания молекулярных газов в смеси при  $t_p = 220$  нс.

расчеты зависимости энергосъема от энерговклада при высоком уровне возбуждения активной среды. Вместе с тем сложности реализации удельных энерговкладов  $G \geq G_{\text{опт}}$  в рассматриваемой области изменения давления не позволяли ранее провести подробные экспериментальные исследования такого плана. Типичными являются результаты работы [17], в которой исследовались зависимости энергии генерации от величины удельного энерговклада в газовых средах  $\text{CO}_2 : \text{N}_2 : \text{He}$  при содержании молекулярных компонентов от 30 до 100 % и давлениях, близких к атмосферному. В этих экспериментах наблюдалось наличие максимума по энергосъему для всех исследованных смесей при значениях  $G = 0.25 - 0.30 \text{ Дж}/\text{см}^3 \cdot \text{атм}$  для  $P = 1 \text{ атм}$  и  $G = 0.40 - 0.50 \text{ Дж}/\text{см}^3 \cdot \text{атм}$  для  $P = 0.5 \text{ атм}$ . Резкое уменьшение энергии генерации при удельных энерговкладах  $G > 0.25 \text{ Дж}/\text{см}^3 \cdot \text{атм}$  для  $P = 1 \text{ атм}$  и  $G > 0.4 \text{ Дж}/\text{см}^3 \cdot \text{атм}$  для  $P = 0.5 \text{ атм}$  являлось, по словам авторов, следствием ухудшения структуры разряда и его локализацией. Этим же, по-видимому, объясняется наличие относительно низких оптимальных удельных энерговкладов для всех исследованных смесей, а также уменьшение величины  $G_{\text{опт}}$  с ростом давления и отсутствие зависимости  $G_{\text{опт}}$  от компонентного состава смеси. Исключением, однако, является работа [18], в которой для смеси  $1\text{CO}_2 : 2\text{N}_2 : 0.5\text{H}_2$  ( $P_{\text{CO}_2+\text{N}_2}/P \approx 0.86$ ) при  $P = 0.3 \text{ атм}$  в малом модельном объеме проведено исследование генерационных характеристик лазера вплоть до  $G = 3 \text{ Дж}/\text{см}^3 \cdot \text{атм}$ . В этом случае  $G_{\text{опт}}$  лежал в пределах  $0.8 - 1.0 \text{ Дж}/\text{см}^3 \cdot \text{атм}$ , что согласуется со значением  $G_{\text{опт}} = 0.85 \text{ Дж}/\text{см}^3 \cdot \text{атм}$ , полученным при экстраполяции приведенной на рис. 5 зависимости до значения параметра  $P_{\text{CO}_2+\text{N}_2}/P = 0.86$ .

Отметим также удовлетворительное согласие наших экспериментальных данных с результатами расчета [16]. Так, в работе [16] для смеси  $1\text{CO}_2 : 0.5\text{N}_2 :$

6.75He ( $P_{CO_2+N_2}/P \approx 0.18$ ) при  $P=3$  атм получено значение  $G_{opt}=0.37$  Дж/см<sup>3</sup> × атм. Эксперимент (рис. 5) дает близкое значение  $G_{opt}=0.30$  Дж/см<sup>3</sup> · атм.

Результаты исследования энергетических характеристик лазера показали также возможность повышения эффективности лазера при увеличении длительности импульса разряда. На рис. 6, а приведены зависимости энергии генерации от энерговклада в единицу объема разрядного промежутка для различных смесей и длительностей импульса разряда 220 и 350 нс. В этом случае резонатор

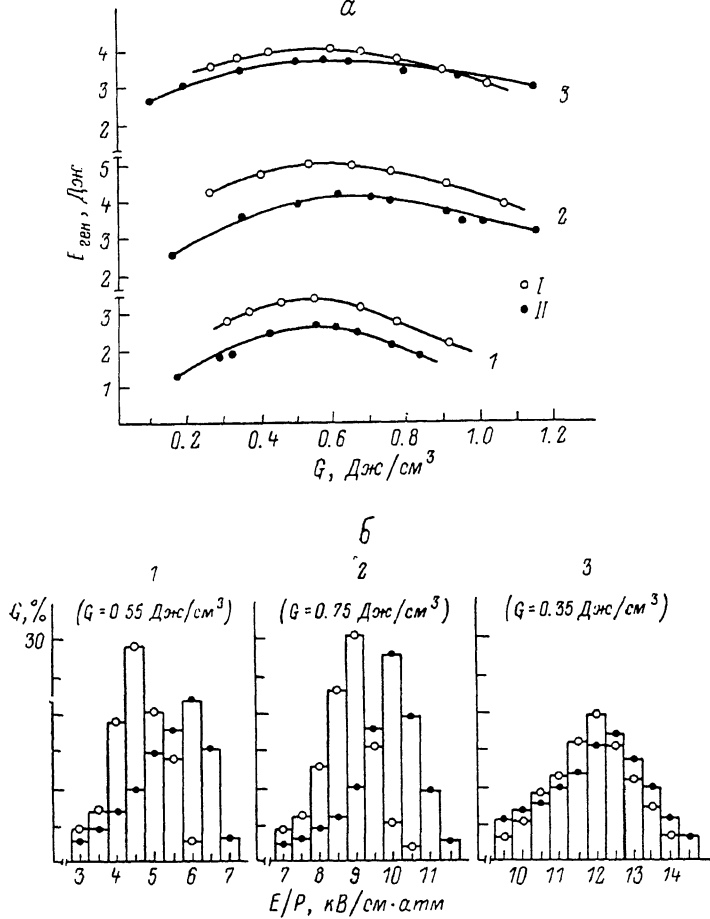


Рис. 6. Зависимости энергии генерации  $\varepsilon_{gen}$  от энерговклада (а) и типичные зависимости доли энергии, вводимой в разряд, от текущего значения  $E/P$  (б) для различных смесей и длительностей импульса разряда.

1 —  $1CO_2 : 0.5N_2 : 15He$ , 2 —  $1CO_2 : 1N_2 : 5He$ , 3 —  $1CO_2 : 1N_2 : 2He$  при  $P=2.4$ ,  $1.8$ ,  $1.2$  атм соответственно.  $t_p$ : I — 350, II — 220 нс.

лазера состоял из двух плоских зеркал с коэффициентами отражения 0.98 и 0.80, расположенных на расстоянии 150 см. Увеличение длительности импульса разряда в исследованном диапазоне 100—350 нс не приводит к заметному изменению величины  $G_{opt}$ , но эффективность преобразования энергии разряда в энергию излучения лазера повышается. Увеличение эффективности преобразования энергии связано с характерным для ОСР снижением величины  $E/P$  по мере разряда накопителя и, как следствие, связано с увеличением доли энергии, идущей на возбуждение верхних лазерных уровней при увеличении длительности ОСР.

На рис. 6, б для условий, соответствующих рис. 6, а, представлены типичные зависимости доли энергии, вкладываемой в ОСР, от текущего значения  $E/P$ . Видно, что при сохранении величины энерговклада для импульса разряда большей длительности большая доля энергии приходится на диапазон меньших

полей  $E/P$ , в которых возбуждение верхних лазерных уровней более эффективно. Степень различий динамики ввода энергии при различных длительностях ОСР уменьшается при увеличении содержания молекулярных газов в смеси, что сопровождается (рис. 6, а) уменьшением относительных различий в энергии генерации при изменении длительности ОСР.

## Выводы

Приведенные в настоящей работе результаты экспериментального исследования ОСР с предварительной фотоионизацией в смесях  $\text{CO}_2$  лазера с добавками в качестве легкоионизуемой примеси диметилаприлина позволяют проводить выбор начальных условий, обеспечивающих формирование и поддержание ОСР в течение заданного промежутка времени в диапазоне длительностей 100—350 нс и области давлений 1—10 атм.

Показана возможность достижения удельных энерговкладов в ОСР до 2 Дж/ $\text{см}^3\cdot\text{атм}$  в объеме до 170  $\text{см}^3$  и полном использовании энергозапаса накопителя при выполнении следующих условий.

1. При выполнении условия  $\tau_a \geq t_p$  за счет увеличения характерного времени  $\tau_a$  формирования локализации ОСР, что достигается: а) путем увеличения скорости нарастания напряжения на разрядном промежутке до величины  $\geq 10 \text{ кВ/нс}$  (при этом дрейф электронов в приложенном поле до начала формирования ОСР не приводит к заметному обеднению прикатодного слоя); б) путем увеличения степени однородности величины начальной концентрации электронов  $n_0$  в плоскостях, перпендикулярных полю ОСР, при использовании системы фотоионизации с подсветкой области формирования ОСР из-под сетчатого электрода и при увеличении поверхностной плотности числа искровых источников до величины  $\geq 0.5 \text{ см}^{-2}$ ; в) путем сокращения времени формирования разряда до величины  $\leq 1 \text{ нс}$  при увеличении параметра  $n_0/P$  (при этом повышается эффективность подавления локализации шунтирующим действием одновременно растущих лавин электронов).

2. При обеспечении согласованного режима разряда за счет выполнения соотношения  $E_0/P = 2E^*/P$  (в этом случае энергия накопителя полностью вводится в ОСР за минимальное время  $t_p = \pi\sqrt{LC}$ ).

3. При увеличении скорости ввода энергии в ОСР в режиме разряда, близком к согласованному, что достигается увеличением параметра  $E_0/P$  и увеличением содержания молекулярных газов в рабочей смеси (при этом возрастает параметр  $E^*/P$ , а также поддерживается режим разряда, близкий к согласованному, и в случае  $E_0/P = 3-4 E^*/P$ ).

Результаты исследования генерационных характеристик лазера при высоком уровне возбуждения активной среды показывают, что энергия генерации достигает максимума при оптимальных энерговкладах 0.25—0.55 Дж/ $\text{см}^3\cdot\text{атм}$  для исследованных смесей с содержанием молекулярных газов от 10 до 50 %. При этом величина оптимального энерговклада не зависит от давления и длительности импульса разряда в исследованном диапазоне 100—350 нс. Эффективность преобразования энергии разряда в энергию излучения лазера возрастает при увеличении длительности разряда, что обусловлено характерным для ОСР снижением параметра  $E/P$  по мере разряда накопителя на промежуток и, как следствие, связано с увеличением доли энергии, идущей на возбуждение верхних лазерных уровней при увеличении длительности ОСР.

## Литература

- [1] Данилычев В. А., Керимов О. М., Ковш И. Б. Итоги науки и техники. Сер. Радиотехника, 1976, т. 12.
- [2] Deka B. K., Rob M. A., Izatt J. R. Opt. Commun., 1986, v. 57, N 2, p. 111—116.
- [3] Van Goor E. A. Opt. Commun., 1986, v. 57, N 4, p. 254—256.
- [4] Пивовар В. А., Заворуев С. М., Факаускас Р. И., Шилскус Ю. К. Тез. докл. Всес. совещ. «Инверсная заселенность и генерация на переходах в атомах и молекулах». Томск, 1986, с. 289.
- [5] Месяц Г. А., Королев Ю. Д. УФН, 1986, т. 148, № 1, с. 101—122.
- [6] Сорокин А. Р. Письма в ЖТФ, 1985, т. 11, № 22, с. 1378—1382.

- [7] Вьюнг Н. Т., Пузевич З. Квант. электр., 1982, т. 9, № 1, с. 147—149.
- [8] Агалаков Ю. Г., Рубинов Ю. А. Письма в ЖТФ, 1987, т. 13, № 2, с. 71—75.
- [9] Мазуренко Ю. Т., Рубинов Ю. А., Шахвевердов П. А. ОМП, 1979, № 6, с. 25—28.
- [10] Горячkin Д. А., Иртугалиев В. В., Калинин В. П. и др. Изв. АН СССР. Сер. физ., 1982, т. 46, № 10, с. 1877—1885.
- [11] Канатенко М. А. Письма в ЖТФ, 1983, т. 9, № 4, с. 214—218.
- [12] Борисов В. М., Гладуш Г. Г., Степанов Ю. Ю. Квант. электр., 1977, т. 4, № 4, с. 809—814.
- [13] Гайдияк Г. В., Пономаренко А. Г., Травков И. В., Шеейгерт В. А. Препринт ИТИМ, № 27-83. Новосибирск, 1983.
- [14] Lowke J. J., Phelps A. V., Irwin B. W. J. Appl. Phys., 1973, v. 44, N 10, p. 4664—4671.
- [15] Brio Crus C. H., Fragnito H. L. J. Appl. Phys., 1981, v. 52, N 2, p. 612—613.
- [16] Гордиец Б. Ф., Косьма Б., Свиридов А. Г., Соболев Н. Н. Квант. электр., 1979, т. 6, № 2, с. 267—273.
- [17] Бычков Ю. И., Осипов В. В., Савин В. В. В сб.: Газовые лазеры. Новосибирск: Наука, 1977, с. 252—271.
- [18] Оришич А. М., Пономаренко А. Г., Солоухин Р. И., Тищенко В. В. В сб.: Газовые лазеры. Новосибирск: Наука, 1977, с. 290—297.

Поступило в Редакцию  
27 июня 1987 г.